

УДК 004.932.4

## МЕЖКАНАЛЬНАЯ ГРАДИЕНТНАЯ РЕКОНСТРУКЦИЯ ЦВЕТНЫХ ИЗОБРАЖЕНИЙ, ИСКАЖЁННЫХ ИМПУЛЬСНЫМИ ПОМЕХАМИ

Е. А. Самойлин, В. В. Шипко

*Военно-воздушная академия им. проф. Н. Е. Жуковского и Ю. А. Гагарина,  
394064, г. Воронеж, ул. Старых Большевиков, 54а  
E-mail: shipko.v@bk.ru*

Предложен алгоритм реконструкции искажённых импульсными помехами сигналов компонент цветного цифрового изображения за счёт межканальной избыточности. Полученные результаты численных исследований свидетельствуют о преимуществе межкомпонентной градиентной реконструкции перед медианной фильтрацией в точности восстановления потерянных или искажённых элементов цветного изображения. Показана эффективность представленного алгоритма на примере обработки 3-компонентного цветного цифрового изображения.

*Ключевые слова:* цветные цифровые изображения, импульсные помехи, межканальная градиентная реконструкция, медианная фильтрация.

**Введение.** Цифровая обработка изображений является одной из наиболее стремительно развивающихся областей техники. Известно множество алгоритмов и методов цифровой обработки изображений [1–8]. Отдельным классом задач считается обработка цветных цифровых изображений. Это могут быть как обычные оптические *RGB*-компонентные, так и мультиспектральные изображения, где каждый отдельный канал несёт цветовую информацию об объекте и совокупность цветовых компонент даёт полную картину происходящего. В области обработки цветных изображений наиболее актуальны вопросы фильтрации, сегментации, распознавания образов [1]. В данной работе рассматривается подавление импульсных помех (ИП) на цветных изображениях.

Как известно [1–4], к ИП относятся независимые случайные искажения отдельных элементов. Импульсные помехи могут возникать при ошибках оцифровки и квантования изображений, сбоях отдельных элементов оптико-электронных преобразователей и т. д. На цветном изображении помехи могут иметь одинаковые характеристики в каждом цветовом канале, но иногда они влияют на цветовые каналы по-разному. Такое возможно, например, в случае неисправности электроники одного из каналов.

Кроме того, известно, что наиболее приемлемыми процедурами фильтрации ИП являются алгоритмы на основе порядковых статистик, в частности алгоритм медианной фильтрации. Медианный фильтр представляет собой локальный нелинейный фильтр [2], выход которого определяется как медиана элементов, попавших в его апертуру. В работе [4] приведены векторные медианные фильтры, показывающие своё преимущество в обработке цветных изображений. Тем не менее медианная фильтрация не в состоянии всегда точно восстановить значение потерянного сигнала вследствие своей ограниченности только выборкой элементов апертуры фильтра, а также при преобладающем числе сбойных элементов в апертуре [2]. Между тем возникающая избыточность при переходе к цветным изображениям открывает новые возможности для восстановления потерянных вследствие воздействия помех значений сигналов изображений. В частности, в случае искажения значения яркости элемента изображения в одном из каналов возможно оценить это значение по амплитудным перепадам яркости соответствующих элементов других каналов.

Цель работы — повышение точности реконструкции искажённых элементов цветных цифровых изображений за счёт свойства межканальной избыточности.

**Постановка задачи восстановления цветных изображений.** Используемая модель исходного оцифрованного по строкам  $i$  и столбцам  $j$  цветного изображения  $\Lambda$  имеет вид

$$\Lambda = \begin{bmatrix} \Lambda^R \\ \Lambda^G \\ \Lambda^B \end{bmatrix} = \begin{bmatrix} \lambda_{i,j}^R \in [0, \dots, 2^N - 1] \\ \lambda_{i,j}^G \in [0, \dots, 2^N - 1] \\ \lambda_{i,j}^B \in [0, \dots, 2^N - 1] \end{bmatrix}. \quad (1)$$

Здесь  $R, G, B$  — красная, зелёная и синяя компоненты соответственно;  $i = 1, \dots, m$ ,  $j = 1, \dots, n$  ( $m, n$  — число строк и столбцов изображения);  $N$  — степень квантования элементов изображения  $\Lambda$ ;  $\lambda_{i,j}^{R,G,B}$  — элементы компонент  $R, G, B$ .

Модель такого 3-компонентного изображения, искажённого воздействием ИП, описывается выражением

$$\mathbf{X} = \begin{bmatrix} \mathbf{X}^R \\ \mathbf{X}^G \\ \mathbf{X}^B \end{bmatrix} = \begin{bmatrix} x_{i,j}^R \in [0, \dots, 2^N - 1] \\ x_{i,j}^G \in [0, \dots, 2^N - 1] \\ x_{i,j}^B \in [0, \dots, 2^N - 1] \end{bmatrix}. \quad (2)$$

Каждый канал  $\mathbf{X}^{R,G,B}$  (2) содержит ИП:

$$x_{i,j}^{R,G,B} = \begin{cases} \lambda_{i,j}^{R,G,B} & \text{с вероятностью } p(\lambda), \\ h_{i,j}^{R,G,B} & \text{с вероятностью } p(h) = 1 - p(\lambda). \end{cases} \quad (3)$$

Здесь  $p(\lambda)$  — вероятность появления полезного сигнала  $\lambda_{i,j}^{R,G,B}$  в ячейке с координатой  $(i, j)$ ;  $p(h)$  — вероятность появления помехи  $h_{i,j}^{R,G,B}$  в ячейке с координатой  $(i, j)$ , которая не зависит ни от наличия помех в других координатах, ни от исходного сигнала, т. е.  $p(h) = \text{const} \forall i \in 1, \dots, m, j \in 1, \dots, n$ ;  $h_{i,j}^{R,G,B}$  — значения искажённых элементов в цветовых компонентах изображения, являющиеся независимыми случайными величинами с неизвестным законом яркостного распределения, соответствующие интервалу квантования (1), (2):

$$h_{i,j}^{R,G,B} = \text{rnd}[0, \dots, 2^N - 1]. \quad (4)$$

Требуется разработать алгоритм реконструкции зашумлённого изображения  $\mathbf{X}$ , который позволит сформировать оценку  $\hat{\Lambda}$ , наиболее близкую к её истинным значениям:

$$\|\hat{\Lambda} - \Lambda\| \rightarrow \min, \quad (5)$$

где  $\|\cdot\|$  — векторная норма.

**Алгоритм межканальной градиентной реконструкции искажённых сигналов.** Обозначим  $g_{k,s}^R = \lambda_{i,j}^R - \lambda_{k,s}^R$ ,  $g_{k,s}^G = \lambda_{i,j}^G - \lambda_{k,s}^G$ ,  $g_{k,s}^B = \lambda_{i,j}^B - \lambda_{k,s}^B$  и будем называть  $g_{k,s}^{R,G,B}$  далее однонаправленными градиентами компонент  $R, G$  и  $B$ , где  $k, s$  — координаты любого (случайного) элемента изображения в скользящем окне с центром  $i, j$  в каналах  $R, G, B$ .

Примем допущение о том, что однонаправленные градиенты компонент  $R, G, B$  приблизительно равны:  $g_{k,s}^R \approx g_{k,s}^G \approx g_{k,s}^B$ . Данное допущение, как показали исследования, справедливо для многих реальных цветных цифровых изображений.

Тогда при восстановлении скользящей апертурой с размерами  $p = (0, \dots, P)$  по  $i$  и  $q = (0, \dots, Q)$  по  $j$  возможен следующий алгоритм градиентной реконструкции сбойных сигналов компонент  $R, G, B$ .

На первом этапе осуществляется оценка пространственного положения ИП в каждом канале. Поскольку закон распределения яркости ИП является неизвестным, то можно использовать ранговые алгоритмы обнаружения [5, 6]. Эти обнаружители формируют бинарные матрицы оценок положения искажённых сигналов каждой компоненты:

$$\hat{h}_{i,j}^{R,G,B} = \begin{cases} 1 & \text{при наличии ИП,} \\ 0 & \text{при отсутствии ИП.} \end{cases} \quad (6)$$

На следующем этапе реализуется межканальная реконструкция обнаруженных сбойных элементов изображения. В случае если  $(\hat{h}_{i,j}^R = 0) \vee (\hat{h}_{i,j}^R = 1 \wedge \hat{h}_{i,j}^G = 1 \wedge \hat{h}_{i,j}^B = 1)$ , оценке  $\hat{\lambda}_{i,j}^R$  присваивается значение  $x_{i,j}^R$ . Символы « $\vee$ », « $\wedge$ » означают логические операции ИЛИ и И. В случае когда искажён  $i, j$ -й сигнал компонент  $R$  и  $B$  при неискажённом  $i, j$ -м элементе компоненты  $G$  ( $\hat{h}_{i,j}^R = 1 \wedge \hat{h}_{i,j}^G = 0 \wedge \hat{h}_{i,j}^B = 1$ ), оценка  $\hat{\lambda}_{i,j}^R$  рассчитывается на основе локальных градиентов компоненты  $G$  согласно следующему правилу.

По значениям незашумлённых элементов в апертуре изображения (на которые указывают оценки  $\hat{h}_{i\pm p, j\pm q}^G = 0 \wedge \hat{h}_{i\pm p, j\pm q}^R = 0$ ) формируются  $z^{R(G)} = ((2P+1)(2Q+1)) - 1 - \varepsilon^{R(G)}$  локальных градиентов канала  $G$ , где  $\varepsilon^{R(G)}$  — число, соответствующее помеховым совпадениям  $\hat{h}_{i\pm p, j\pm q}^G = 1 \vee \hat{h}_{i\pm p, j\pm q}^R = 1$ , не считая центрального элемента:

$$g_{i\pm p, j\pm q}^G = x_{i,j}^G - x_{i\pm p, j\pm q}^G, \quad p, q \neq 0. \quad (7)$$

Далее формируются  $z^{R(G)}$  оценок сбойного элемента компоненты  $R$  по компоненте  $G$ :

$$(\hat{\lambda}_{i,j}^{R(G)})_{t^{R(G)}} = x_{i\pm p, j\pm q}^R + g_{i\pm p, j\pm q}^G, \quad p, q \neq 0. \quad (8)$$

Здесь  $t^{R(G)}$  — индекс оценки из общего количества оценок компоненты  $R$  по  $G$ ,  $t^{R(G)} = 1, \dots, z^{R(G)}$ .

Общая оценка компоненты  $R$  по компоненте  $G$  имеет следующий вид:

$$\hat{\lambda}_{i,j}^{R(G)} = \text{med} \left[ (\hat{\lambda}_{i,j}^{R(G)})_{t^{R(G)}} \right], \quad (9)$$

где  $\text{med}[\cdot]$  — оператор вычисления медианы.

В случае если  $z^{R(G)}$  чётное, то медиана выборки определяется как среднее значение двух ближайших к середине элементов вариационного ряда.

Если  $\hat{h}_{i,j}^R = 1 \wedge \hat{h}_{i,j}^G = 1 \wedge \hat{h}_{i,j}^B = 0$ , то  $\hat{\lambda}_{i,j}^R$  рассчитывается по информации от однонаправленных градиентов компоненты  $B$ .

По значениям незашумлённых элементов в апертуре изображения ( $\hat{h}_{i\pm p, j\pm q}^B = 0 \wedge \hat{h}_{i\pm p, j\pm q}^R = 0$ ) формируются  $z^{R(B)} = ((2P+1)(2Q+1)) - 1 - \varepsilon^{R(B)}$  локальных градиентов канала  $B$ , где  $\varepsilon^{R(B)}$  — число, соответствующее помеховым совпадениям  $\hat{h}_{i\pm p, j\pm q}^B = 1 \vee \hat{h}_{i\pm p, j\pm q}^R = 1$ , за исключением центрального элемента:

$$g_{i\pm p, j\pm q}^B = x_{i,j}^B - x_{i\pm p, j\pm q}^B, \quad p, q \neq 0. \quad (10)$$

Далее формируются  $z^{R(B)}$  оценок сбойного элемента компоненты  $R$  по компоненте  $B$ :

$$(\hat{\lambda}_{i,j}^{R(B)})_{t^{R(B)}} = x_{i \pm p, j \pm q}^R + g_{i \pm p, j \pm q}^B, \quad p, q \neq 0. \quad (11)$$

Здесь  $t^{R(B)}$  — индекс оценки из общего количества оценок компоненты  $R$  по  $B$ ,  $t^{R(B)} = 1, \dots, z^{R(B)}$ .

Общая оценка компоненты  $R$  по компоненте  $B$  находится как медиана оценок (11):

$$\hat{\lambda}_{i,j}^{R(B)} = \text{med} \left[ (\hat{\lambda}_{i,j}^{R(B)})_{t^{R(B)}} \right]. \quad (12)$$

Если  $\hat{h}_{i,j}^R = 1 \wedge \hat{h}_{i,j}^G = 0 \wedge \hat{h}_{i,j}^B = 0$ , то выполняются операции (7), (8), (10), (11) и общая оценка определяется как значение медианы всех полученных оценок по компонентам:

$$\hat{\lambda}_{i,j}^{R(G,B)} = \text{med} \left[ (\hat{\lambda}_{i,j}^{R(G)})_{t^{R(G)}}, (\hat{\lambda}_{i,j}^{R(B)})_{t^{R(B)}} \right]. \quad (13)$$

Когда  $z^{R(G)} + z^{R(B)}$  чётное, медиана выборки вычисляется как среднее значение двух ближайших к середине элементов вариационного ряда.

Необходимо отметить, что если  $z^{R(G)}$ ,  $z^{R(B)}$  или  $z^{R(G)} + z^{R(B)}$  равны нулю при  $\varepsilon^{R(G)}$  и  $\varepsilon^{R(B)}$  равных  $((2P+1)(2Q+1)) - 1$ , то расчёт оценок по соседним компонентам не возможен, поскольку не будет сформировано ни одного локального градиента в соседних каналах. Это осуществимо при высокой интенсивности помех в каждом канале.

Таким образом, восстановленное изображение компоненты  $R$  может быть представлено как

$$\hat{\lambda}_{i,j}^R = \begin{cases} x_{i,j}^R & \text{при } (\hat{h}_{i,j}^R = 0) \vee (\hat{h}_{i,j}^R = 1 \wedge \hat{h}_{i,j}^G = 1 \wedge \hat{h}_{i,j}^B = 1), \\ \hat{\lambda}_{i,j}^{R(G)} & \text{при } (\hat{h}_{i,j}^R = 1 \wedge \hat{h}_{i,j}^G = 0 \wedge \hat{h}_{i,j}^B = 1), \\ \hat{\lambda}_{i,j}^{R(B)} & \text{при } (\hat{h}_{i,j}^R = 1 \wedge \hat{h}_{i,j}^G = 1 \wedge \hat{h}_{i,j}^B = 0), \\ \hat{\lambda}_{i,j}^{R(G,B)} & \text{при } (\hat{h}_{i,j}^R = 1 \wedge \hat{h}_{i,j}^G = 0 \wedge \hat{h}_{i,j}^B = 0). \end{cases} \quad (14)$$

Реконструкция компонент  $G$  и  $B$  осуществляется аналогично построению оценок компоненты  $R$  и выглядит следующим образом:

$$\hat{\lambda}_{i,j}^G = \begin{cases} x_{i,j}^G & \text{при } (\hat{h}_{i,j}^G = 0) \vee (\hat{h}_{i,j}^R = 1 \wedge \hat{h}_{i,j}^G = 1 \wedge \hat{h}_{i,j}^B = 1), \\ \hat{\lambda}_{i,j}^{G(R)} & \text{при } (\hat{h}_{i,j}^R = 0 \wedge \hat{h}_{i,j}^G = 1 \wedge \hat{h}_{i,j}^B = 1), \\ \hat{\lambda}_{i,j}^{G(B)} & \text{при } (\hat{h}_{i,j}^R = 1 \wedge \hat{h}_{i,j}^G = 1 \wedge \hat{h}_{i,j}^B = 0), \\ \hat{\lambda}_{i,j}^{G(R,B)} & \text{при } (\hat{h}_{i,j}^R = 0 \wedge \hat{h}_{i,j}^G = 1 \wedge \hat{h}_{i,j}^B = 0), \end{cases} \quad (15)$$

$$\hat{\lambda}_{i,j}^B = \begin{cases} x_{i,j}^B & \text{при } (\hat{h}_{i,j}^B = 0) \vee (\hat{h}_{i,j}^R = 1 \wedge \hat{h}_{i,j}^G = 1 \wedge \hat{h}_{i,j}^B = 1), \\ \hat{\lambda}_{i,j}^{B(R)} & \text{при } (\hat{h}_{i,j}^R = 0 \wedge \hat{h}_{i,j}^G = 1 \wedge \hat{h}_{i,j}^B = 1), \\ \hat{\lambda}_{i,j}^{B(G)} & \text{при } (\hat{h}_{i,j}^R = 1 \wedge \hat{h}_{i,j}^G = 0 \wedge \hat{h}_{i,j}^B = 1), \\ \hat{\lambda}_{i,j}^{B(R,G)} & \text{при } (\hat{h}_{i,j}^R = 0 \wedge \hat{h}_{i,j}^G = 0 \wedge \hat{h}_{i,j}^B = 1). \end{cases} \quad (16)$$

При этом для каждой оценки сигналов одной из компонент по другой необходимо ввести ограничение на интервале квантования яркости:

$$\hat{\lambda}_{i,j}^{a(b)} = \begin{cases} (x_{k,s}^a + g_{k,s}^b) & \text{при } 0 \leq (x_{k,s}^a + g_{k,s}^b) \leq (2^N - 1), \\ (2^N - 1) & \text{при } (x_{k,s}^a + g_{k,s}^b) > (2^N - 1), \\ 0 & \text{при } (x_{k,s}^a + g_{k,s}^b) < 0, \end{cases} \quad (17)$$

где  $a$  — оцениваемая компонента,  $a = (R \vee G \vee B)$ ;  $b$  — компонента, по которой осуществляется оценка,  $b = (R \vee G \vee B)$ ;  $b \neq a$ .

**Результаты численных исследований** представлены на примере обработки тестового цветного  $RGB$ -компонентного изображения «Лена» с параметрами  $m \times n = 320 \times 320$ ,  $N = 8$ .

Перед обработкой изображение целенаправленно подвергалось воздействию ИП в диапазоне вероятности их появления  $p(h) = 0-0,9$ . В качестве меры невязки изображений  $\Lambda$  и  $\hat{\Lambda}$ , т. е. ошибки восстановления, выбрано нормированное евклидово расстояние, вычисляемое в каждом цветовом канале [7]:

$$E^{R,G,B} = \left( \sum_{i=1}^m \sum_{j=1}^n (\hat{\lambda}_{i,j}^{R,G,B} - \lambda_{i,j}^{R,G,B})^2 \right)^{1/2} \left( \sum_{i=1}^m \sum_{j=1}^n (\lambda_{i,j}^{R,G,B})^2 \right)^{-1/2}. \quad (18)$$

Предварительное оценивание ИП выполнено идеальным обнаружителем с целью показать потенциальную точность восстановления изображений приведёнными алгоритмами. Реконструкция сбойных сигналов по локальным градиентам соседних каналов выполнялась по одной (случайной) оценке из всей выборки оценок по компонентам.

На рис. 1 представлен критерий (18) в канале  $R$  при равнозначной вероятности наличия помех в каждом цветовом канале для приведённого алгоритма реконструкции на основе межканальной избыточности, а также для пространственно-избирательного медианного алгоритма восстановления [8] скользящей апертурой размером  $3 \times 3$  ( $P = 1, Q = 1$ ). Из рисунка следует, что алгоритм восстановления цветных изображений на основе межканальной избыточности является более эффективным по сравнению с медианным алгоритмом в рассматриваемом диапазоне интенсивности помех. Кроме того, видно, что применение медианного фильтра после градиентной реконструкции позволяет повысить качество восстановления искажённого импульсными помехами изображения даже при высокой их интенсивности. Ошибки (18) в каналах  $G$  и  $B$  имеют вид, аналогичный рис. 1.

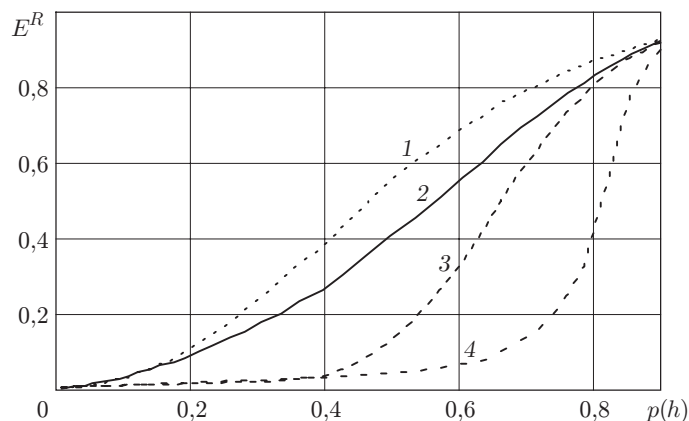


Рис. 1. Ошибка восстановления сигналов компоненты  $R$  при наличии помех в каждом цветовом канале: кривая 1 — пространственно-избирательная медианная фильтрация [8]; 2 — межканальная градиентная реконструкция; 3 — пространственно-избирательная медианная фильтрация после градиентной реконструкции; 4 — пространственно-избирательная медианная фильтрация по выборке неискажённых элементов после градиентной реконструкции

На рис. 2 представлен критерий (18) при наличии помех только в канале  $R$  для алгоритма межканальной градиентной реконструкции и пространственно-избирательной медианной фильтрации [8] скользящей апертурой размером  $3 \times 3$  элемента. Рисунок показывает дополнительное преимущество межканальной обработки по устранению помех сбойной цветовой компонентой при отсутствии либо низкой интенсивности шума в соседних каналах. При сравнении рис. 1 и 2 видно, что результат медианной фильтрации не зависит от уровня помех в каждом канале. В свою очередь, градиентная реконструкция эффективно восстанавливает практически полностью зашумлённое изображение одной из компонент по другой (незашумлённой). Комбинация градиентной реконструкции и медианной обработки заметно увеличивает точность восстановления искажённого изображения.

На рис. 3 для визуального сравнения приведены результаты обработки цветного цифрового изображения с вероятностью наличия ИП  $p(h) = 0,4$  в каждом цветовом канале. Из рисунка видно, что использование предлагаемого алгоритма реконструкции ИП по локальным градиентам соседних каналов при цифровой обработке цветных изображений

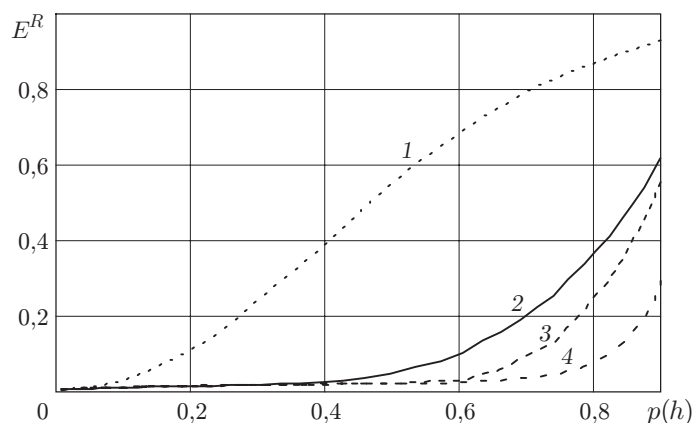


Рис. 2. Ошибка восстановления сигналов компоненты  $R$  при отсутствии помех в каналах  $G$  и  $B$  (описание кривых см. на рис. 1)



*Рис. 3.* Обработка цветного изображения при наличии ИП в каждом канале: *a* — искажённое ИП изображение; *b* — результат пространственно-избирательного медианного восстановления [8]; *c* — результат градиентной реконструкции; *d* — результат пространственно-избирательного медианного восстановления после градиентной реконструкции

позволяет получить более высокую точность восстановления за счёт меньшего искажения полезных границ областей и перепадов яркости. Искажённый пиксель замещается не элементом окрестности, который может кардинально отличаться от истинного значения потерянного сигнала, а значением оценки по соседним цветовым компонентам соответствующих координат, что, в свою очередь, является наиболее достоверным.

На рис. 4 представлена вычислительная сложность  $O$  (количество элементарных операций) приведённых алгоритмов в зависимости от количества их реализаций  $L$  апертурой размером  $3 \times 3$  элемента. Анализ зависимостей на рисунке показывает, что при нормировании вычислительных затрат алгоритмов реконструкции на вычислительные затраты классического медианного фильтра относительные показатели вычислительной сложности будут следующие: для алгоритма реконструкции медианой оценок по одному соседнему каналу — 2,6, для алгоритма реконструкции медианой оценок по двум соседним каналам — 5,3, а при реконструкции по одному градиенту соседнего канала — 0,2.

На рис. 5 показана зависимость вычислительных затрат разработанных алгоритмов от числа помеховых совпадений  $\varepsilon$  между каналами при  $L = 100$ . По результатам, представленным на рисунке, выявлена интересная особенность, связанная с тем, что с увеличением интенсивности помех (и тем самым увеличением  $\varepsilon$ ) уменьшается количество оценок по соседним каналам и, как следствие, снижаются вычислительные затраты.

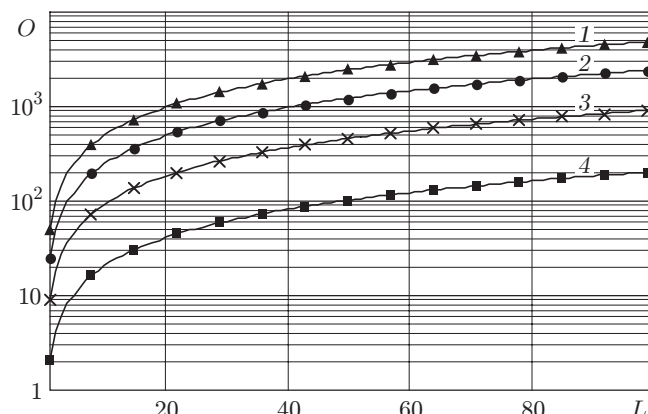


Рис. 4. Зависимость вычислительных затрат алгоритмов от числа их реализаций: кривая 1 — алгоритм градиентной реконструкции по двум соседним каналам; 2 — алгоритм градиентной реконструкции по одному соседнему каналу; 3 — алгоритм медианной фильтрации; 4 — алгоритм градиентной реконструкции по одной случайной оценке

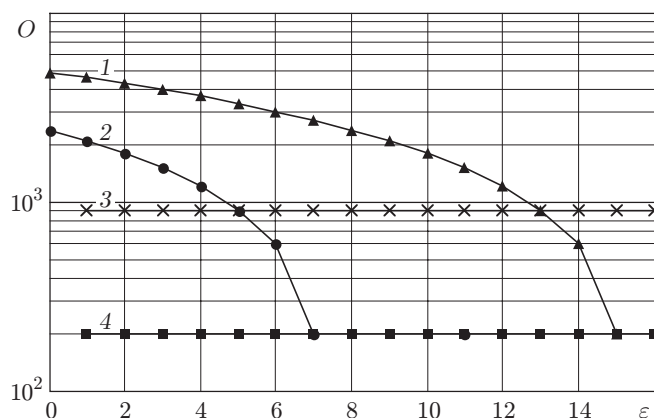


Рис. 5. Зависимость вычислительных затрат алгоритмов от количества помеховых совпадений в цветовых каналах (описание кривых см. на рис. 4)

**Заключение.** Предложенный в данной работе алгоритм межканальной градиентной реконструкции принципиально отличается от ранговых процедур обработки и является более эффективным. При этом комбинирование процедур только дополняет возможности качественного восстановления искажённых или потерянных сигналов цветного цифрового изображения. Рассмотренные процедуры межканальной градиентной реконструкции цветных компонент изображения могут быть использованы в различных оптико-электронных системах технического зрения для восстановления искажённых сигналов.

### СПИСОК ЛИТЕРАТУРЫ

1. Гонсалес Р., Вудс Р. Цифровая обработка изображений. М.: Техносфера, 2005. 1072 с.
2. Хуанг Т. С., Эклунд Дж.-О., Нуссбаумер Г. Дж. и др. Быстрые алгоритмы в цифровой обработке изображений. М.: Радио и связь, 1984. 224 с.
3. Калинин П. В., Сирота А. А. Статистические нейросетевые и комбинированные алгоритмы фильтрации аппликативных помех на изображениях // Автометрия. 2012. 48, № 6. С. 18–28.



4. **Воскобойников Ю. Е., Белявцев В. Г.** Нелинейные алгоритмы фильтрации векторных сигналов // Автометрия. 1999. № 5. С. 97–105.
5. **Самойлин Е. А.** Нелинейные алгоритмы фильтрации импульсного шума на изображениях // Автометрия. 2005. 41, № 5. С. 26–32.
6. **Самойлин Е. А., Шипко В. В., Трифонов П. А.** Итерационный алгоритм восстановления цифровых изображений с адаптивным обнаружением импульсных помех // Матер. XIX Международ. науч. конф. «Радиолокация. Навигация. Связь». Воронеж: Изд-во НПФ «САКВОЕЕ» ООО, 2013. Т. 1. С. 182–189.
7. **Самойлин Е. А.** Критерии оценивания качества фильтрации импульсных шумов на изображениях // Автометрия. 2006. 42, № 4. С. 25–35.
8. **Самойлин Е. А.** Пространственно-избирательная фильтрация изображений // Изв. вузов. Приборостроение. 2006. 49, № 12. С. 7–12.

*Поступила в редакцию 14 мая 2013 г.*

---